

М. И. Карякин

### РАВНОВЕСИЕ И УСТОЙЧИВОСТЬ НЕЛИНЕЙНО-УПРУГОЙ ПЛАСТИНКИ С КЛИНОВОЙ ДИСКЛИНАЦИЕЙ

Для физики твердого тела оказалось важным изучение дислокаций и дисклинаций не только в трехмерных телах, но и в двумерных — пластинках, пленках и т. п. Методы анализа задач такого рода и конкретные решения приведены, например, в [1—3]. Один из этих дефектов возникает при рассмотрении введенной в [4] клиновой диспланации — напряженно-деформированного состояния цилиндра, который набирается из большого числа тонких дисков, содержащих дисклинации. При этом диски не остаются плоскими, а превращаются либо в конусообразные воронки, либо в сложно изогнутые поверхности седловой конфигурации, которые были обнаружены при численном моделировании дисклинаций методами молекулярной динамики [4]. Сказанным определяется интерес к изучению подобных моделей методами теории упругости. Линейная теория дислокаций в оболочках освещена в [5], нелинейные ее аспекты — в [6].

В настоящей работе изучается задача о равновесии и устойчивости нелинейно-упругой пластинки с клиновой дисклинацией. Анализ основывается на нелинейных уравнениях теории пластин и оболочек типа Лява, сформулированных в [7]. В рамках безмоментной теории установлено, что в случае положительной дисклинации возможны две осесимметричные формы равновесия: равновесная поверхность плоская или коническая. Найдена неосесимметричная неплоская форма равновесия безмоментной пластинки с отрицательной дисклинацией. Уравнения равновесия нелинейной моментной теории при всех значениях параметра дисклинации допускают «плоское» решение (прогиб тождественно равен нулю), совпадающее с решением безмоментной теории. Проведено численное исследование его устойчивости.

1. Рассматривается пластинка толщины  $h$ , имеющая форму кольца  $c \leq r \leq d$ ,  $0 \leq \varphi \leq 2\pi$ ,  $-h/2 \leq \xi \leq h/2$  ( $r$ ,  $\varphi$ ,  $\xi$  — цилиндрические координаты). Примем гипотезы Кирхгофа — Лява и далее под пластинкой будем понимать ее срединную поверхность. Образование в пластинке дисклинации зададим соотношениями

$$(1.1) \quad R = R(r), \Phi = \kappa\varphi, Z = Z(r).$$

Относящиеся к деформированному состоянию величины  $R$ ,  $\Phi$  и  $Z$  описывают соответственно расстояние от оси до точки срединной поверхности пластинки, полярный угол и вертикальное смещение. Случаю  $\kappa < 1$  (отрицательная дисклинация) отвечает деформация кольца, возникающая после разрезания его вдоль линии  $\varphi = 0$  и введения в разрез клина с углом раствора  $2\pi(1 - \kappa)$ , а  $\kappa > 1$  (положительная дисклинация) — удаление из кольца сектора  $2\pi\kappa^{-1} \leq \varphi \leq 2\pi$  с последующим соединением краев. Согласно (1.1), срединная поверхность пластинки после деформации представляет собой поверхность вращения.

Уравнения равновесия пластинки при отсутствии поверхностной нагрузки имеют вид [7]

$$(1.2) \quad \nabla \cdot \mathbf{S} = 0, \mathbf{S} = \boldsymbol{\sigma} + \boldsymbol{\mu} \cdot \nabla' \mathbf{N} + (\nabla \cdot \boldsymbol{\mu}) \cdot \nabla' \mathbf{rN},$$

где  $\nabla = \mathbf{e}_r \frac{\partial}{\partial r} + \frac{1}{r} \mathbf{e}_\varphi \frac{\partial}{\partial \varphi}$  — двумерный набла-оператор недеформированного состояния;  $\mathbf{e}_r$ ,  $\mathbf{e}_\varphi$ ,  $\mathbf{e}_\xi$  — орты цилиндрических координат в этом состоянии ( $\mathbf{e}_\xi = \mathbf{n}$  — нормаль к недеформированной поверхности пластинки);  $\boldsymbol{\sigma} = \partial W / \partial \mathbf{U} \cdot \mathbf{A}$  — тензор мембранных усилий (типа Пиолы);  $\boldsymbol{\mu} = -\partial W / \partial \mathbf{K} \cdot \nabla \mathbf{P}$  — тензор изгибающих моментов (типа Пиолы);  $\mathbf{P} =$

$= R\mathbf{e}_R + Z\mathbf{e}_Z$  — радиус-вектор точки пластинки в деформированном состоянии;  $\mathbf{e}_R, \mathbf{e}_\Phi, \mathbf{e}_Z$  — орты цилиндрических координат этого состояния;  $\mathbf{N}$  — нормаль к деформированной поверхности пластинки;  $\mathbf{K} = -\nabla' \mathbf{N} \cdot (\nabla \mathbf{P})^T$ ;  $\mathbf{U} = [\nabla \mathbf{P} \cdot (\nabla \mathbf{P})^T]^{1/2}$ ;  $\mathbf{A}$  — тензор поворота ( $\nabla \mathbf{P} = \mathbf{U} \cdot \mathbf{A}$ );  $\mathbf{r}$  — радиус-вектор точки пластинки в недеформированном состоянии;  $\nabla'$  — двумерный набла-оператор деформированного состояния. Функцию удельной потенциальной энергии деформации пластинки  $W(\mathbf{U}, \mathbf{K})$  примем заданной в форме

$$(1.3) \quad W = \frac{1}{2} E_1 [\nu \operatorname{tr}^2 \boldsymbol{\varepsilon} + (1 - \nu) \operatorname{tr} \boldsymbol{\varepsilon}^2] + \frac{1}{2} E_2 [\nu \operatorname{tr}^2 \mathbf{K} + (1 - \nu) \operatorname{tr} \mathbf{K}^2].$$

Здесь  $E_1 = Eh/(1 - \nu^2)$ ;  $E_2 = Eh^3/12(1 - \nu^2)$ ;  $E$  — модуль Юнга;  $\nu$  — коэффициент Пуассона материала пластинки;  $\boldsymbol{\varepsilon} = \mathbf{U} - \mathbf{g}$ ;  $\mathbf{g} = \mathbf{e}_r \mathbf{e}_r + \mathbf{e}_\Phi \mathbf{e}_\Phi$  — двумерный единичный тензор. Выражение (1.3) совпадает с функцией энергии в линейной теории пластин, если в качестве  $\boldsymbol{\varepsilon}$  и  $\mathbf{K}$  взять соответствующие линейные тензоры  $(1/2)(\nabla \mathbf{u} + \nabla \mathbf{u}^T)$  и  $\nabla \nabla w$  (этим и объясняются приведенные выше названия констант  $E$  и  $\nu$ ).

Ненулевые компоненты тензоров усилий и моментов, отвечающих (1.1), запишем как

$$(1.4) \quad \begin{aligned} \sigma_{rR} &= E_1 \left[ R' + \nu \frac{\kappa R}{r} \frac{R'}{\psi} - (\nu + 1) \frac{R'}{\psi} \right], \\ \sigma_{\Phi\Phi} &= E_1 [\kappa R/r + \nu \psi - \nu - 1], \quad \sigma_{rZ} = \frac{Z'}{R'} \sigma_{rR}; \end{aligned}$$

$$(1.5) \quad \begin{aligned} \mu_{rR} &= -\frac{E_2}{\psi} \left( \eta R' + \nu \frac{\kappa^2}{r^2} R' Z' R \right), \\ \mu_{\Phi\Phi} &= -\frac{E_2}{\psi} \left( \frac{\kappa^3}{r^3} R^2 Z' + \nu \frac{\kappa}{r} \eta R \right), \quad \mu_{rZ} = \frac{Z'}{R'} \mu_{rR}, \end{aligned}$$

где  $\psi = \sqrt{R'^2 + Z'^2}$ ;  $\eta = R'Z'' - Z'R''$ ; штрихом обозначено дифференцирование по переменной  $r$ .

Тензор  $\mathbf{S}$  имеет следующее представление:

$$(1.6) \quad \mathbf{S} = S_{rR}(r) \mathbf{e}_r \mathbf{e}_R + S_{rZ}(r) \mathbf{e}_r \mathbf{e}_Z + S_{\Phi\Phi}(r) \mathbf{e}_\Phi \mathbf{e}_\Phi.$$

Подставляя (1.6) в (1.2), получаем систему уравнений равновесия:

$$(1.7) \quad S'_{rR} + (S_{rR} - \kappa S_{\Phi\Phi})/r = 0;$$

$$(1.8) \quad S'_{rZ} + S_{rZ}/r = 0.$$

Считая края пластинки свободными, запишем граничные условия в форме [7]

$$(1.9) \quad S_{rR}(r) = 0, \quad r = c, d;$$

$$(1.10) \quad S_{rZ}(r) = 0, \quad r = c, d;$$

$$(1.11) \quad \mu_{rR}(r) = 0, \quad r = c, d.$$

Из (1.8) с учетом (1.10) немедленно вытекает

$$(1.12) \quad S_{rZ}(r) \equiv 0.$$

Рассмотрим сначала безмоментный случай, для чего константу  $E_2$  в (1.3) формально положим равной нулю. Тогда  $\mathbf{S} = \boldsymbol{\sigma}$  и условие (1.12) принимает вид

$$Z' \left[ 1 + \frac{1}{\sqrt{R'^2 + Z'^2}} \left( \nu \frac{\kappa R}{r} - \nu - 1 \right) \right] \equiv 0.$$

Возможны два варианта.

1.  $Z' \equiv 0$ . Учитывая это в выражениях (1.4) для  $\sigma_{rR}$  и  $\sigma_{\Phi\Phi}$  и подставляя последние в (1.7) и (1.9), приходим к краевой задаче для определения функции  $R(r)$ :

$$(1.13) \quad \begin{aligned} R'' + R'/r - \kappa^2 R/r &= (1 - \nu)(1 - \nu)/r, \\ R' + \nu \kappa R/r &= 1 + \nu, \quad r = c, d. \end{aligned}$$

Решение ее представим как

$$(1.14) \quad R(r) = \frac{d}{1 + \kappa} [(1 - \nu) C_1 \rho^\kappa + (1 + \nu) C_2 \rho^{-\kappa} + (1 + \nu) \rho],$$

где

$$C_1 = \frac{1 - \rho_0^{\kappa+1}}{1 - \rho_0^{2\kappa}}; \quad C_2 = \frac{\rho_0^{3\kappa} - \rho_0^{\kappa+1}}{1 - \rho_0^{2\kappa}}; \quad \rho = \frac{r}{d}; \quad \rho_0 = \frac{c}{d}.$$

В частности, в случае сплошного диска ( $\rho_0 = 0$ ) соответствующие (1.14) главные напряжения (осредненные по толщине пластинки главные усилия), выражающиеся через тензор  $\sigma$  соотношениями [7]  $\sigma_R = e_R \cdot J^{-1} |(\nabla P)^T \cdot \sigma \cdot e_R$ ,  $\sigma_\Phi = e_\Phi \cdot J^{-1} |(\nabla P)^T \cdot \sigma \cdot e_\Phi$  ( $J = \det(\nabla P + nN)$ ), с учетом (1.4) принимают вид

$$\sigma_R = E_1 \frac{(1 - \nu^2)(\rho^{\kappa-1} - 1)}{(1 - \nu)\rho^{\kappa-1} + (1 + \nu)}, \quad \sigma_\Phi = E_1 \frac{(1 - \nu^2)(\kappa\rho^{\kappa-1} - 1)}{(1 - \nu)\kappa\rho^{\kappa-1} + (1 + \nu)}.$$

Можно проверить, что если в полученном «плоском» решении произвести известную замену постоянных, связанную с переходом от плоского напряженного состояния к плоской деформации ( $\nu \rightarrow \nu/(1 - \nu)$ ), то приходим к найденному в [8] решению задачи о дисклинации в цилиндре из полулинейного материала. Аналогично [8] в случае сплошного диска главные напряжения не имеют сингулярности на оси дисклинации, в то время как в линейной теории у них есть логарифмическая особенность [3].

2.  $1 + (\nu\kappa R/r - \nu - 1)/\sqrt{R'^2 + Z'^2} \equiv 0$ . В этом случае  $\sigma_{rR}$  тоже равно нулю, а следовательно, в силу (1.7) и  $\sigma_{\Phi\Phi} \equiv 0$ . Для определения функций  $R(r)$  и  $Z(r)$  получаем систему уравнений вида

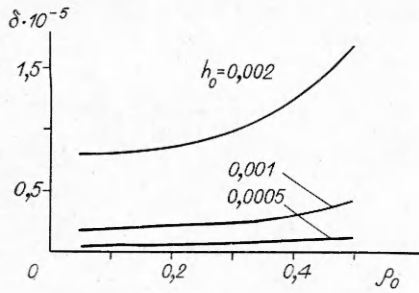
$$(1.15) \quad \begin{aligned} \sqrt{R'^2 + Z'^2} + \nu\kappa R/r &= 1 + \nu, \quad \nu\sqrt{R'^2 + Z'^2} + \kappa R/r = 1 + \nu, \text{ откуда} \\ R(r) = r/\kappa, \quad Z(r) &= \sqrt{\kappa^2 - 1} r/\kappa + \text{const.} \end{aligned}$$

Найденное решение существует лишь для положительной дисклинации ( $\kappa > 1$ ). Соответствующая (1.15) форма пластинки представляет собой (усеченный) конус.

Интересной особенностью решения (1.15) является его «универсальность». Легко проверить, что в данном случае  $U = g$ , т. е.  $\epsilon = 0$ , а значит, тождественно равны нулю и усилия. Таким образом, для безмоментной оболочки из нелинейно-упругого материала любого типа уравнения равновесия будут удовлетворены тождественно.

2. Выше установлено, что при  $\kappa > 1$  у краевой задачи (1.7)–(1.10) в безмоментном приближении есть два решения. Можно показать, что оба они устойчивы относительно осесимметричных возмущений в том смысле, что близких к ним форм равновесия не существует, так как линеаризованные в окрестности каждого из них уравнения имеют лишь тривиальные решения. С энергетической точки зрения при любых значениях  $\kappa$ , больших единицы, предпочтение следует отдать решению (1.15), поскольку при этом энергия деформации вообще равна нулю.

Более строгий и точный результат может быть получен путем анализа уравнений, основанных на моментной нелинейной теории пластин. Легко видеть, что данные уравнения также допускают «плоское» решение (прогиб тождественно равен нулю), совпадающее с решением безмоментной теории (1.15). Это следует из того, что при  $Z' \equiv 0$  тензор моментов обращается в нуль. Для изучения устойчивости плоского решения отно-



Р и с. 1

сительно осесимметричных возмущений проведем линеаризацию уравнения равновесия в его окрестности, для чего положим

$$(2.1) \quad \mathbf{P} = R(r)\mathbf{e}_R + \varepsilon \mathbf{w}, \quad \mathbf{w} = u(r)\mathbf{e}_R + w(r)\mathbf{e}_z,$$

где  $R(r)$  определяется формулой (1.14). Подставляя (2.1) в (1.4), (1.5), а полученные выражения в (1.7), (1.12) и удерживая величины первого по  $\varepsilon$  порядка, придем к системе уравнений

$$(2.2) \quad v' = -\frac{1}{R'} \left( v \frac{\kappa^2}{r^2} R - R'' \right) v - \frac{1}{R'} \mu,$$

$$\mu' = \left[ \frac{\kappa^4 R^2}{r^4 R'} (v^2 - 1) - l \left( R' + v \frac{\kappa R}{r} - v - 1 \right) \right] v + \frac{1}{r} \left( v \frac{\kappa^2 R}{r^2 R'} - 1 \right) \mu$$

( $v = w'$ ,  $\mu = \mu_{rR}/E_2$ ,  $l = E_1/E_2$ ). Краевыми условиями для нее являются соотношения (1.11).

Вторая краевая задача (для определения функции  $u(r)$ ) в рассматриваемом осесимметричном случае будет линеаризованным вариантом линейной краевой задачи (1.14), т. е. имеет единственное решение.

Критические значения параметра дисклинации  $\kappa$  определяются появлением нетривиальных решений краевой задачи (2.2), (1.11). Расчеты показали, что при  $0 < \kappa < 1$  таких нетривиальных решений не существует, т. е. пластинка не теряет устойчивость осесимметричным образом. График зависимости критического значения параметра  $\delta = \kappa - 1$  от радиуса отверстия кольца ( $\rho_0 = c/d$ ) для разных толщин ( $h_0 = h/d$ ) при  $\kappa > 1$  приведен на рис. 1. Отметим, что с большой степенью точности можно  $\delta$  считать пропорциональным  $h_0^2$ . Моды потери устойчивости представляют собой поверхности, близкие к коническим.

Для анализа неосесимметричных форм потери устойчивости следует полагать  $u = u(r, \varphi)$ ,  $w = w(r, \varphi)$ . Ограничиваясь случаем изгибной потери устойчивости, считаем  $u \equiv 0$ . Линеаризованные величины будем обозначать точкой:

$$\mathbf{S}' = \frac{d}{d\varepsilon} \mathbf{S}(\mathbf{P} + \varepsilon \mathbf{w})|_{\varepsilon=0}, \quad \mathbf{w} = w(r, \varphi) \mathbf{e}_z.$$

Вычисления дают

$$(2.3) \quad \mathbf{S}' = S_1(r, \varphi) \mathbf{e}_r \mathbf{e}_z + S_2(r, \varphi) \mathbf{e}_\varphi \mathbf{e}_z,$$

где

$$(2.4) \quad \begin{aligned} S_1 &= \sigma_{rR} \frac{w'}{R'} + \frac{1}{R'} \left( \mu_{rR}' + \frac{1}{r} \mu_{rR} - \frac{\kappa}{r} \mu_{\varphi\varphi} + \frac{1}{r} \mu_{\varphi R, \varphi} \right); \\ S_2 &= \sigma_{\varphi\varphi} \frac{w_{,\varphi}}{\kappa R} + \frac{r}{\kappa R} \left( \mu_{r\varphi}' + \frac{1}{r} \mu_{r\varphi} + \frac{\kappa}{r} \mu_{\varphi R} + \frac{1}{r} \mu_{\varphi\varphi, \varphi} \right); \\ \mu_{rR}' &= -E_2 \left[ R' w'' + \left( v \frac{\kappa^2}{r^2} R - R'' \right) w' + v \frac{R'^2}{r^2} w_{,\varphi\varphi} \right]; \\ \mu_{\varphi\varphi}' &= -E_2 \left[ v \frac{\kappa R}{r} w'' + \frac{\kappa R}{r R'} \left( \frac{\kappa^2}{r^2} R - v R'' \right) w' + \frac{\kappa R}{r^3} w_{,\varphi\varphi} \right]; \\ \mu_{r\varphi}' &= -E_2 (1 - v) \frac{\kappa}{r^2} (R w'_{,\varphi} - R' w_{,\varphi}); \quad \mu_{\varphi R}' = \frac{r R'}{\kappa R} \mu_{r\varphi}'. \end{aligned}$$

В (2.4) использованы обозначения  $f' = \partial f / \partial r$ ,  $f_{,\varphi} = \partial f / \partial \varphi$ . Величины  $\sigma_{rR}$ ,  $\sigma_{\varphi\varphi}$  и  $R$  относятся к «плоскому» напряженному состоянию, устой-

чивость которого исследуется. Выражению (2.3) соответствует уравнение равновесия

$$(2.5) \quad S_1' + S_1/r + S_{2,\varphi}/r = 0,$$

которое с помощью (2.4) может быть записано в виде системы четырех уравнений относительно функций  $w$ ,  $v = w'$ ,  $\mu_{rR}$  и  $S_1$ :

$$(2.6) \quad w' = v, \quad v' = -\frac{\nu}{r^2} w_{,\varphi\varphi} + \frac{1}{R'} \left( R'' - \frac{\nu\kappa^2}{r^2} R \right) v - \frac{1}{R'} E_2^{-1} \mu_{rR},$$

$$\begin{aligned} \mu_{rR}' = & \left[ (\nu^2 - 1) \frac{\kappa^2}{r^2} \bar{R} - (1 - \nu) \frac{R'^2}{Rr^2} \right] E_2 w_{,\varphi\varphi} + \left[ (\nu^2 - 1) E_2 \frac{\kappa^4}{r^4} \frac{R^2}{R'} - \sigma_{rR} \right] v + \\ & + E_2 (1 - \nu) \frac{R'}{r^2} v_{,\varphi\varphi} + \left( \frac{\nu\kappa^2 R}{r^2 R'} - \frac{1}{r} \right) \mu_{rR} + R' S_1, \end{aligned}$$

$$\begin{aligned} S_1' = & \left[ E_2 (1 - \nu) \frac{1}{Rr^2} \left( \frac{R'}{r} - R'' - \frac{R'^2}{R} \right) - \frac{\sigma_{\varphi\varphi}}{\kappa r R} \right] w_{,\varphi\varphi} + E_2 (1 - \nu) \frac{1}{r^4} w_{,\varphi\varphi\varphi\varphi} + \\ & + E_2 (1 - \nu) \frac{1}{Rr^2} \left[ \left( R'' + \frac{\kappa^2 R}{r^2} \right) \frac{R}{R'} + \bar{R}' - \frac{R}{r} \right] v_{,\varphi\varphi} - \frac{1}{R'r^2} \mu_{rR,\varphi\varphi} - \frac{1}{r} S_1. \end{aligned}$$

Граничные условия для свободной пластинки в неосесимметричном случае имеют вид [7]

$$\mathbf{e}_r \cdot \mathbf{S} + \frac{\partial}{\partial s} \left( \mu_{r\Phi} \frac{1}{\kappa} \mathbf{N} \right) = 0, \quad \mu_{rR} = 0 \quad (r = c, d)$$

( $\partial/\partial s$  — касательная производная). После их линеаризации получаем

$$(2.7) \quad S_1 - E_2 (1 - \nu) \frac{1}{r^3} (w'_{,\varphi\varphi} R - w_{,\varphi\varphi} R') = 0, \quad \mu_{rR} = 0 \quad (r = c, d).$$

Нетривиальные решения краевой задачи (2.6), (2.7) разыскиваем в форме

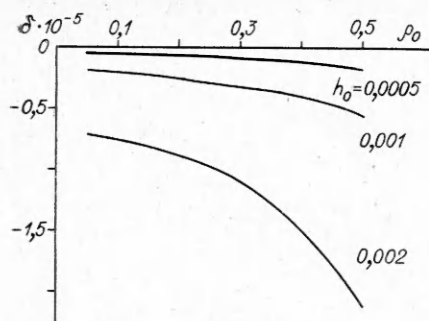
$$(2.8) \quad w(r, \varphi) = w_r(r) \sin(n\kappa\varphi + \varphi_0).$$

Подставляя (2.8) в (2.6), (2.7), приходим к линейной однородной краевой задаче для системы обыкновенных дифференциальных уравнений. Значения  $\kappa$ , при которых она имеет нетривиальные решения, определяются численно. Расчеты, в частности, показали, что при  $\kappa > 1$  потеря устойчивости происходит осесимметричным образом: критические значения  $\delta$  неосесимметричных форм ( $n \geq 1$ ) на порядок выше. График зависимости  $\delta$  от радиуса отверстия при  $\kappa < 1$  приведен на рис. 2. Неосесимметричная потеря устойчивости происходит здесь при  $n = 2$ .

Из сравнения графиков на рис. 1 и 2 видно, что дисклинации разных знаков практически одинаково влияют на устойчивость пластинки. Сравнение результатов с полученными в [9] данными об устойчивости цилиндра с клиновой дисклинацией показывает, что изгибная потеря устойчивости пластинки в рассмотренном диапазоне параметров происходит при значениях  $\delta$ , на несколько порядков меньших, чем плоская потеря устойчивости цилиндра.

3. Как приведено выше, в рамках безмоментной теории равновесная поверхность для положительной дисклинации получается осесимметричным изометрическим преобразованием (изгибанием) недеформированной пластинки. Построим такое же преобразование в случае отрицательной дисклинации. Ясно, что в отличие от (1.1) оно уже не будет осесимметричным.

Рассмотрим преобразование вида  $R = R(r, \varphi)$ ,  $\Phi = \kappa\varphi$ ,  $Z = Z(r, \varphi)$ . Условие его изометричности сводится к соотношению



Р и с. 2

(3.1)

$$U = g.$$

Задача нахождения функций  $R(r, \varphi)$  и  $Z(r, \varphi)$ , удовлетворяющих условию (3.1), не содержит размерных параметров; этим определяется следующий вид искомых функций:

$$(3.2) \quad R(r, \varphi) = rf(\varphi), \quad Z(r, \varphi) = rg(\varphi).$$

С учетом (3.2) соотношение (3.1) сводится к трем скалярным уравнениям для нахождения функций  $f(\varphi)$  и  $g(\varphi)$ :

$$(3.3) \quad f^2 + g^2 = 1, \quad f \frac{df}{d\varphi} + \varepsilon \frac{dg}{d\varphi} = 0, \quad \left(\frac{df}{d\varphi}\right)^2 + \kappa^2 f^2 + \left(\frac{dg}{d\varphi}\right)^2 = 1.$$

Второе из уравнений (3.3) непосредственно вытекает из первого, поэтому оно может быть отброшено; выражая далее из первого уравнения  $g(\varphi)$  и подставляя полученное в третье, приходим к уравнению

$$\left(\frac{df}{d\varphi}\right)^2 = (1 - f^2)(1 - \kappa^2 f^2),$$

которое имеет решения:

$f^2 = 1$  — постороннее решение, не удовлетворяющее системе (3.3);

$f^2 = \kappa^{-2}$  — решение, описывающее сворачивание пластинки в конус ( $\kappa > 1$ ) и рассмотренное выше;

$$(3.4) \quad f = \operatorname{sn}(\varphi + C).$$

Модулем эллиптической функции  $\operatorname{sn}$  в (3.4) является параметр дисклинации  $\kappa$  ( $\kappa < 1$ ). В этом случае  $g^2(\varphi) = \operatorname{cn}^2(\varphi + C)$ ;  $C$  — постоянная, которая может быть найдена из условия непрерывности поверхности деформированной пластинки: величины  $R$  и  $Z$  должны быть непрерывными,  $2\pi$ -периодическими функциями координаты  $\Phi$ , т. е.

$$(3.5) \quad R(r, 0) = R(r, 2\pi/\kappa);$$

$$(3.6) \quad Z(r, 0) = Z(r, 2\pi/\kappa).$$

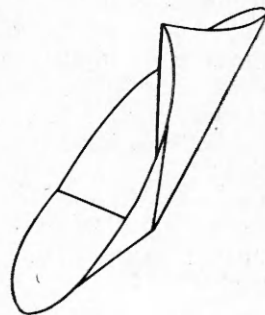
Рассмотрим случай малых отрицательных дисклинаций ( $\kappa \leq 1$ ). Малость величины  $1 - \kappa$  понимается в том смысле, что период функции  $\operatorname{sn} \varphi$  с модулем  $\kappa$  будет больше  $4\pi/\kappa$ :

$$(3.7) \quad K(\kappa) > \pi/\kappa$$

( $K(\kappa)$  — полный эллиптический интеграл первого рода [10]). Требованию (3.7) соответствует интервал изменения  $\kappa$  ( $\kappa \in (0,9858; 1)$ ). При этом для константы  $C$  в (3.4) из условия (3.5) получаем  $\operatorname{sn} C = \operatorname{sn}(C + 2\pi/\kappa)$ , откуда  $C = K - \pi/\kappa$ .

Требование (3.7) служит условием того, что на участке  $[0, 2\pi/\kappa]$  функция  $f(\varphi)$  (а значит, и функция  $R(r, \varphi)$ ) будет больше нуля. Соотношение (3.6) может быть выполнено, если в качестве  $g(\varphi)$  выбрать функцию  $g(\varphi) = |\operatorname{cn}(\varphi + C)|$ , непрерывную и принимающую на концах отрезка  $[0, 2\pi/\kappa]$  одинаковые значения и удовлетворяющую системе (3.3) везде, за исключением точек  $\varphi = 0$  и  $\varphi = \pi/\kappa$ , где производная  $g(\varphi)$  терпит разрыв.

Соответствующая преобразованию (3.2) поверхность имеет два ребра (при  $\Phi = 0$  и  $\Phi = \pi$ ) — результат, часто встречающийся при анализе задач деформирования безмоментных оболочек на основе теории изгибания поверхностей [11]. Изображение этой поверхности при  $\kappa = 0,99$  приведено на рис. 3.



Р и с. 3



Нужно отметить, что рассмотренная задача имеет бесконечно много решений, поскольку условия непрерывности поверхности в деформированном состоянии типа (3.5), (3.6) можно ставить не только при  $\Phi = 0$  и  $2\pi$ , но и при любом другом значении  $\alpha$  (и  $\alpha + 2\pi$ ). Таким образом, положение ребер на данной поверхности не является фиксированным, и в качестве таковых могут выступать любые две линии  $\Phi = \alpha$  и  $\Phi = \alpha + \pi$ ,  $\alpha \in [0, 2\pi)$ .

Автор выражает глубокую благодарность Л. М. Зубову за внимание к работе.

#### ЛИТЕРАТУРА

1. Физика кристаллов с дефектами/А. А. Предводителев, Н. А. Тяпунина, Г. М. Зиненкова, Г. В. Бушуева.— М.: Изд-во МГУ, 1986.
2. Владимиров В. И., Колесникова А. Л., Романова А. Е. Клиновые дисклинации в упругой пластине // Физика металлов и металловедение.— 1985.— Т. 60, вып. 6.
3. Владимиров В. И., Романов А. Е. Дисклинации в кристаллах.— Л.: Наука, 1986.
4. Лихачев В. А., Михайлин А. И., Шудегов В. Е. Строение стекол // Моделирование в механике.— Новосибирск, 1987.— Т. 1(18), № 3.
5. Черных К. Ф. Линейная теория оболочек.— Л.: Изд-во ЛГУ, 1964.— Ч. 2.
6. Зубов Л. М. Нелинейная теория изолированных дислокаций и дисклинаций в упругих оболочках // Изв. АН СССР. МТТ.— 1989.— № 4.
7. Зубов Л. М. Методы нелинейной теории упругости в теории оболочек.— Ростов н/Д: Изд-во Рост. ун-та, 1982.
8. Зубов Л. М. Изолированная дисклинация в нелинейно-упругом сжимаемом теле // Изв. АН СССР. МТТ.— 1986.— № 1.
9. Зеленин А. А., Зубов Л. М. Устойчивость и послекритическое поведение упругого цилиндра с дисклинацией // Изв. АН СССР. МТТ.— 1989.— № 1.
10. Янке Е., Эмде Ф., Леш Ф. Специальные функции.— М.: Наука, 1977.
11. Погорелов А. В. Изгибания поверхностей и устойчивость оболочек.— М.: Наука, 1986.

г. Ростов н/Д

Поступила 12/IV 1991 г.

УДК 532.593 + 620.192.46

В. Н. Антуков, В. Ф. Каширин, Р. Т. Мурзакаев, Б. И. Усачев

#### МЕТОД МУАРА В ИССЛЕДОВАНИИ ПРОЦЕССОВ ДИНАМИЧЕСКОГО ДЕФОРМИРОВАНИЯ УПРУГОПЛАСТИЧЕСКИХ ТЕЛ

Метод муара широко применяется в экспериментах по изучению процессов обработки металлов давлением и подробно изложен в литературе. Известны исследования квазистатического и нестационарного деформирования прозрачных тел с помощью метода муара [1, 2]. Использование этого метода для анализа динамических процессов в металлических плитах (в частности, откольного разрушения) впервые проведено авторами в [3]. Метод муара при этапном или однократном нагружении дает возможность качественно и количественно оценить напряженно-деформированное состояние плиты, что в сочетании с другими экспериментами и численным расчетом помогает осмыслить не только характер деформируемости, но и процессы разрушения при обработке металлов давлением.

В данной работе представлена система разрешающих уравнений для определения напряженно-деформированного состояния тела с помощью экспериментальной информации, полученной на основе метода муара при больших пластических деформациях и этапном нагружении. Приведен пример деформирования и разрушения алюминиевой плиты при взаимодействии с жестким цилиндрическим бойком.

1. При этапном нагружении упругопластического тела рассмотрим три основные конфигурации: исходную (естественную) с радиусом-вектором места  ${}^0\mathbf{r} = {}^0a^i\mathbf{e}_i$ , текущую (этап  $n - 1$ )  $\mathbf{r} = a^i\mathbf{e}_i$ , текущую (этап  $n$ )  $\mathbf{R} =$